

岡山大学工学部 正名合 宏之

四電エンジニアリング 正吉川 修三

洲本市役所 正岡 順裕

1. まえがき：本研究は、セマやゲートのモウる河川構造物周辺の洗掘構造あるいは護岸や床固めなどの破壊構造を、流れとともに生ずる変動流体力との関連で把握するところ研究の一歩として行ったものである。ここでは、周期変動圧作用下における鉛直1次元砂層内の間隙水圧分布特性を実験的に検討し、結果について述べる。

2. 実験装置および実験方法：実験装置は図1に示すような鉛直1次元模型で、ピストンの往復運動により試料容器内の水面上に周期変動圧が加わる構造になっている。試料容器には内径8.9 cm、高さ70.0 cmのアクリル製円筒管を用い、変動圧の周波数は1.5～10.0 Hzに、また変動圧振幅は水頭で5～10 cmの間に設定できるようにした。圧力の検出には振動式半導体圧力变换器を用い、水中および砂層内の1測点の変動圧をデータレコーダーに同時記録した。AD変換の後、変動圧振幅および測定間の位相のずれなど変動圧特性について検討した。なお、砂層材料としては、空気混入率が異なると考えられる数種の試料（豊浦標準砂）を用い、それについて周波数を1.95, 3.51, 5.27 および 6.84 Hzと変化させて計測した。

3. 実験結果とその考察

図2は空気混入率が最も高いと考えられる試料について、各測点の変動圧を同時に比較したものである。この図より砂層内では、周期的には砂層表面上の変動圧周期と同じであるが、振幅は鉛直下方に向かって従って減少し、同時に位相が遅れていくことがわかる。すなわち、砂層表面に作用する変動圧水頭は、

$$h'(z', t) = a(z') \sin 2\pi \left(\frac{t}{T} - \frac{\Delta T}{T} \right) \quad (1)$$

と表わした場合、砂層表面より下の某の変動圧水頭は次式のように表現される。

$$h'(z', t) = a(z') \sin 2\pi \left(\frac{t}{T} - \frac{\Delta T}{T} \right) \quad (2)$$

ここで、 $a(z')$ は砂層表面より下の深さの点における変動圧振幅、 T は変動圧周期、 ΔT は砂層表面から下の点までの圧力伝達時間である。

図3-1 および図3-2はそれぞれ空気混入率が高い試料と空気混入率が小さいとされる試料（脱気試料）における変動圧振幅の鉛直方向変化を示したものである。これらの図では、空気混入

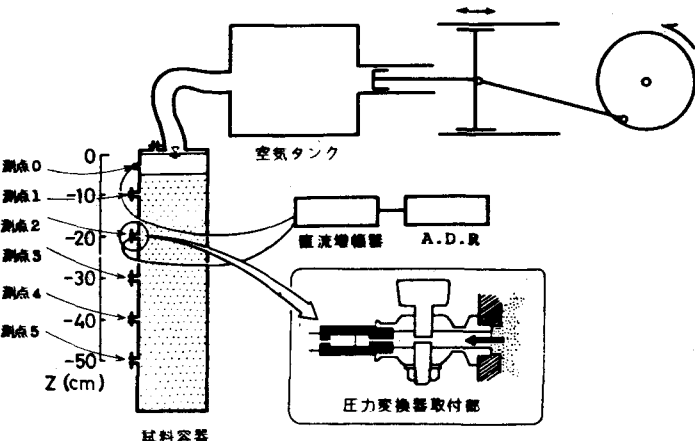
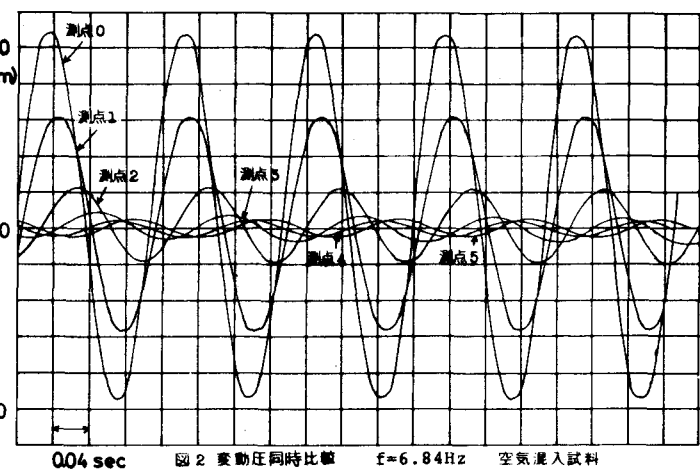


図1 実験装置概要



率が高いほど、また、変動周波数が大1.0
といふほど振幅の減衰が著しくなること
がわかる。

図4-1および図4-2は、それを
他の試料について、変動周波数が
6.84 Hz の場合の鉛直方向変動圧力
分布を示したものである。砂層表面上
の数値は各圧力分布曲線が $t=0.02$ (sec)
ごとに変化していく順序を示して

いる。これらの図とくに図4-1では、砂
層表面上と各測定表面間に変動圧力の差が生
じている様子がはつきりと認められる。

図5は、図4-1に示された変動圧分布より得られる砂層表面と各測定表面との間の全
差圧 ($\gamma(h_0 - h')A$) と、対象としている
測定表面より上部の砂の水中重量 (W_s) と
の比を示したものである。この図では、砂
層表面近傍 (測定1) では全差圧が水中重
量と同程度の大ささで変動していることが
わかる。

砂層内の流動が均質で弾性的な砂層における
1次元非定常浸透流によって表現されると
仮定し、無限下方 ($z' = \infty$) で変動圧が生
じていない ($h' = 0$) という条件のもとでは、
砂層内の変動圧分布は次式のように表わされる。

$$h'(z', t) = a_0 e^{-\alpha z'} \sin 2\pi \left(\frac{t}{T} - \frac{\alpha}{2\pi} z' \right) \quad (3)$$

ここに、 a_0 は砂層構成材料および浸透水の性状に
よつて定まる定数である。この式より振幅減衰比
 $a/a_0 (= e^{-\alpha z'})$ と位相差 $\Delta T/T = (\alpha z'/2\pi)$ と
の間には、

$$a/a_0 = \exp(-2\pi \Delta T/T) \quad (4)$$

の関係があることがわかる。

図6は、実験結果を用いて、 a/a_0 と $\Delta T/T$ との関係を調べたものであるが、ほぼ上式の関係が満足されていることがわかる。このことは、砂層内の流動に関して上述の取り扱いが適切であることを示すものである。しかし、振幅減衰比については図3で示したように変動周波数によって変化するものであり、その表現についてはさらに詳細な検討が必要である。

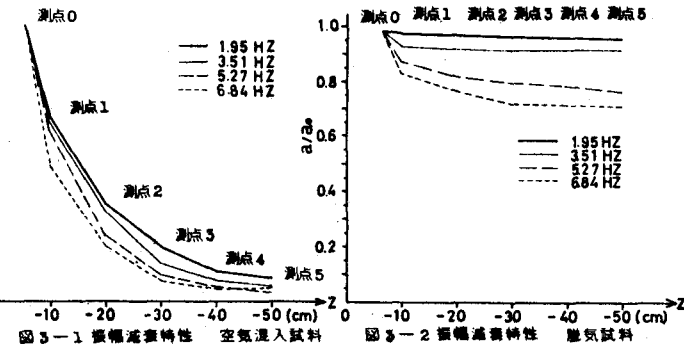


図3-1 振幅減衰特性 空気注入試料

図3-2 振幅減衰特性 脱気試料

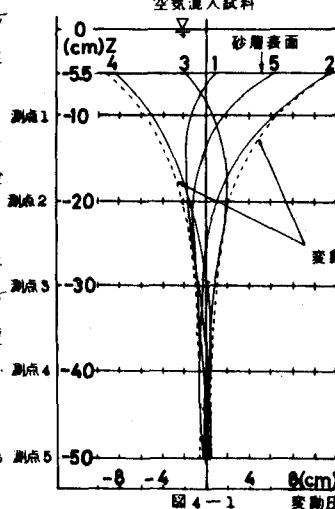


図4-1 変動圧

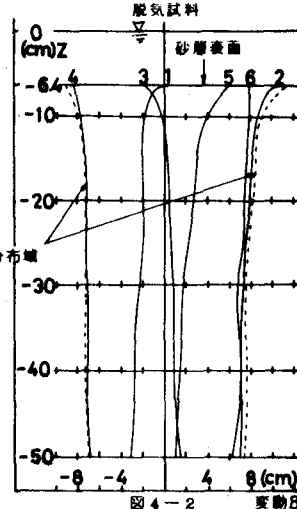


図4-2 変動圧

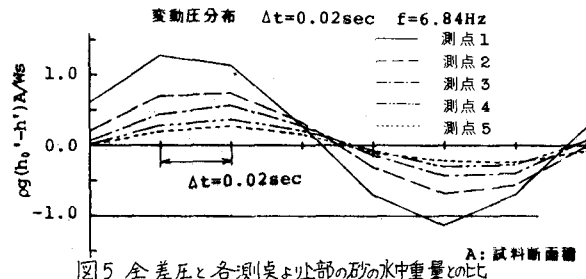


図5 全差圧と各測定より上部の砂の水中重量との比

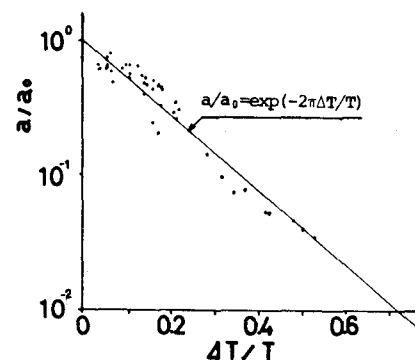


図6 振幅減衰比と位相差の関係